# 基于 TMS320F2812 的 UPS 并机控制技术

廖慧1.2,涂用军1,丘水生1,李振强3

(1.华南理工大学, 广东 广州 510640; 2.广州科技贸易职业学院, 广东 广州 511442; 3.佛山市创电电源有限公司, 广东 佛山 528251)

摘要: 为实现 30 kVA 三相 UPS 并联运行,提出了一种基于 TMS320F2812 的并机控制方案。它采用了一种通过两级锁相实现相位同步的方法,通过计算无功功率差,实现对输出电压幅值的调节,从而实现并机系统中较高精度的同步和均流。试制了并机控制系统样机,实验结果验证了该方案的可行性。

关键词:不间断电源;锁相环控制;同步/均流

中图分类号:TM762,TN86

文献标识码:A

文章编号:1000-100X(2008)04-0043-03

### The Control Technology of Parallel UPS based on TMS320F2812

LIAO Hui<sup>1,2</sup>, TU Yong-jun<sup>1</sup>, QIU Shui-sheng<sup>1</sup>, LI Zhen-qiang<sup>3</sup>
(1.South China University of Technology, Guangzhou 510640, China;
2.Guangzhou Polytechnic of Science and Trade, Guangzhou 511442, China;
3.Foshan Chadi UPS Ltd., Foshan 528521, China)

Abstract: In order to implement 30 kVA three-phase parallel UPS operating normally, a kind of project based on TMS320F2812 for controlling parallel UPS system is put forward. The project applies two-stage phase-locked method to realize synchronization in phase for output voltage. The amplitude of output voltage is adjusted by calculating reactive power difference. Consequently, synchronization and current-sharing for parallel UPS system are implemented more accurately. The sample of control circuit of parallel UPS has already been trial-manufactured, the experimental results demonstrate the project is feasible. Keywords; uninterrupted power supply; phase-locked loop control; sychronization / current sharing

### 1 引言

UPS的并机功能既提高其可靠性,也方便扩容。实现 UPS 并机必须保证:①各 UPS 的输出电压频率、幅值、相位均保持同步;②各 UPS 的输出均分负载,总的负载电流要在各 UPS 间均分即均流。现针对30 kVA 三进三出的 UPS,提出一种并机控制方案。在市电正常即允许±3 Hz 波动时,为避免旁路/逆变切换时过大的环流,UPS 的输出电压必须实时跟踪市电。采用 32位 TMS320F2812 型 DSP 和 6.67 ns 指令处理周期,既保证了各 UPS 的输出电压严格同步,又在市电波动幅度较大和波动较频繁时,亦能在±3 Hz 范围内实时跟踪市电;当市电波动超过±3 Hz 或掉电时,则可跟踪 UPS 自振产生的 50 Hz 标准信号两个同步源之间的无缝切换。实验结果验证了该方案的可行性。

#### 2 UPS 并机控制原理

30 kVA 三进三出 UPS 的逆变器采用 SPWM 电压型全桥方式,其拓扑结构见图 1。输出隔离变压器采用 △和 Y<sub>0</sub>连接,空载输出相电压为 220 V,频率为 50 Hz。为便于分析,在 UPS 逆变器并联系统中,通常 忽略相间磁路耦合,并将其看作是 3 个输出电压相

定稿日期:2008-01-14

作者简介: 廖 慧(1975-), 男, 博士生, 讲师。研究方向 为非线性电路及功率电子学。 位互差 120°单相全桥逆变器的组合。

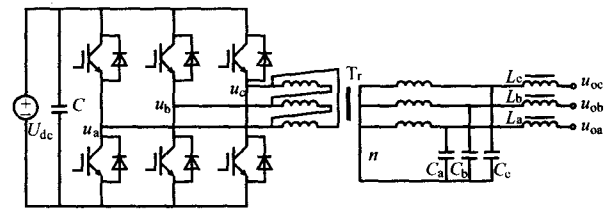
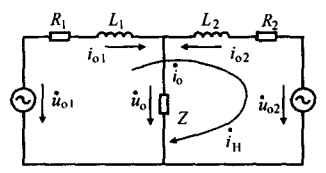


图 1 三相 UPS 逆变器拓扑结构

图 2 是两台容量相等的 UPS 逆变器单相并联等效电路。为了有效抑制环流,加入了并机电感  $L_{\rm al}, L_{az}$ ; 再考虑到变压器漏感,又构成等效电感  $L_{\rm 1}, L_{\rm 2}$ 。



 $\dot{u}_{ol}$ ,  $\dot{u}_{ol}$  为 UPS<sub>1</sub> 和 UPS<sub>2</sub> 经变压器后的输出相电压;  $\dot{u}_{o}$  为并机输出相电压;  $R_{1}$ ,  $R_{2}$  为等效线路阻抗; Z 为公共负载。

图 2 两台 UPS 逆变器的单相并联等效电路 定义两逆变器之间的环流为<sup>[1]</sup>:

$$\dot{i}_{H} = (\dot{i}_{ol} - \dot{i}_{o2})/2 \tag{1}$$

由于 UPS 容量相等,设 $\hat{u}_o = u_o \angle 0$ , $\hat{u}_o$ ,  $\hat{u}_\omega$  与 $\hat{u}_o$  的相角分别为  $\varphi_1$  和  $\varphi_2$ ;  $R_1 = R_2 = R$ ,  $L_1 = L_2 = L$ ,则:

$$i_{H}=(\dot{u}_{ol}-\dot{u}_{o2})/[2(R+j\omega L)]$$
 (2)

由此可见. 各 UPS 的输出电流由两部分组成。 一部分是供给负载的50%电流即 i。/2:一部分是并 联 UPS 之间的环流 in。环流形成了 UPS 输出功率的 差异, 使负荷不能实现均分。处于承担较大负荷的 UPS 有可能超过额定功率而烧毁器件,或者并机系 统因长期功率不均分而造成各 UPS 老化程度明显 不同,从而大大缩短 UPS 使用寿命,降低其可靠性。

设 UPS<sub>1</sub> 和 UPS<sub>2</sub> 输出的有功功率分别为 P<sub>01</sub> 和  $P_{\alpha}$ , 无功功率分别为  $Q_{\alpha}$  和  $Q_{\alpha}$  设相位差足够小,则 有  $\sin \varphi_1 \approx \varphi$  和  $\cos \varphi_1 \approx 1$ ,易得:

$$\begin{cases} P_{\text{ol}} \approx \frac{u_{\text{o}} \mu_{\text{ol}} (R + L \varphi_{1}) - u_{\text{o}}^{2} R}{R^{2} + L^{2}} \\ Q_{\text{ol}} \approx \frac{u_{\text{o}} \mu_{\text{ol}} (L - R \varphi_{1}) - u_{\text{o}}^{2} L}{R^{2} + L^{2}} \end{cases}$$

$$(3)$$

$$\begin{cases} P_{o2} \approx \frac{u_o \mu_{o2} (R + L \varphi_2) - u_o^2 R}{R^2 + L^2} \\ Q_{o2} \approx \frac{u_o \mu_{o2} (L - R \varphi_2) - u_o^2 L}{R^2 + L^2} \end{cases}$$
(4)

设因环流引起的有功功率,即有功环流为:

$$P_{\rm H} = (P_{\rm ol} - P_{\rm o2})/2 \tag{5}$$

设因环流引起的无功功率,即无功环流为:

$$Q_{\rm H} = (Q_{\rm ol} - Q_{\rm o2})/2 \tag{6}$$

因一般  $u_{ol}, u_{ol}$  与  $u_{o}$  的相差比较小, 故综合式 (3)~式(6),有两个 UPS 时输出电压的幅值差和相 位差分别为:

$$\Delta U \approx \frac{2(RP_{\mathrm{H}} + LQ_{\mathrm{H}})}{u_{\mathrm{o}}}, \quad \Delta \varphi \approx \frac{2(LP_{\mathrm{H}} - RQ_{\mathrm{H}})}{u_{\mathrm{o}}^{2}} \quad (7)$$

由此可见,对于图 2 的 UPS 逆变器来说, $\Delta U$  和  $\Delta \varphi$  与  $P_{\rm H}$  和  $Q_{\rm H}$  都有关系。因此,检测已知量  $P_{\rm H}$  和  $Q_{\rm H}$ ,即可求得此时的  $\Delta U$ ,从而调节输出电压幅值; 同理,可求得此时的  $\Delta \varphi$ ,从而调节输出电压的相位。 这样, 既可实现  $P_{\rm H}$ 与  $Q_{\rm H}$ 的均分, 亦可实现各 UPS 的同步均流[2-3]。

### 3 并机控制策略

### 3.1 并机控制板硬件设计

每台 UPS 都装有一套并机控制电路板,其框图 见图 3。在控制电路中, 当旁路 A 相电压、A 相输出 电压及 A,B,C 三相负载电流等多路信号通过前置 处理后,可通过 DSP 内部 ADC 实现对这些信号的 检测: 也可通过 PWM 口实现对 UPS 逆变器输出电 压相位、频率和幅值的调节;可通过 GPI/O 口实现旁 路/逆变的逻辑检测和控制。

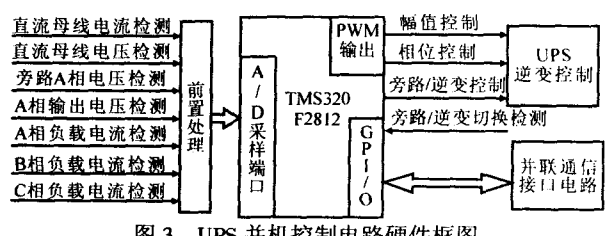


图 3 UPS 并机控制电路硬件框图

各 UPS 通过并机通信线交换信息,并机通信包 括了公共同步、有功功率、无功功率、旁路/逆变的请 求及控制、逆变器状态、旁路 A 相电压追踪等信号 的发送/接收等。为了防止干扰,各信号的发送/接收 都采用了光耦隔离。

### 3.2 频率、相位同步控制的实现[4]

当 UPS 并机时,需跟踪公共同步信号,以保证各 UPS 之间的同频同相。在同频同相未实现之前, UPS 对负载的输出是关闭的、单机锁相亦由并机控制板 完成。在 UPS 启动之后,首先由 DSP 的 CAP, 口检测 同步信号线上是否有同步信号,若没有,则说明暂无 其他 UPS 并入。如图 4a 所示,由 CAP2 采样整形为方 波的市电旁路电压,由定时器 T3 读取其频率。设置定 时器 T2,为 UPS 输出电压定时器 T1 提供相对稳定的 参考信号。当市电正常时,在每个工频周期,T,计数 过正向、过零点时读取 T2 的计数值, 求得 T2 所产生 信号与市电相差  $\Delta \varphi$ ,同时向同步信号线发送与  $T_2$  同 步的信号。此时,由 DSP 通过调节 T<sub>2</sub> 的频率来减少 相差,经过若干个周期调节后,相差已经很小,再微 调相位可实现与市电同频同相; 当无市电或市电异 常即波动范围超过±3 Hz 时,在每个工频周期.T,跟 踪 UPS 自振产生的 50 Hz 标准信号,同时向同步信 号线发送与 T2 同步的信号,通过同样方法可实现与 标准信号同频同相。这样,T2产生的信号对市电或 50 Hz 标准信号进行锁相,这一过程为第一级锁相。

当系统中各 UPS 都并入后,后并入的 UPS 会在 同步线上通过 CAP。捕获到其他机发出的同步信 号,将该信号通过PWM 口再发回到同步信号线,进 行"或"综合得到公共同步信号,如图 4b 所示。这样, 发出同步信号最快即最早出现上升沿的 UPS, 在同 步线上对应一个上升沿、各机捕获到该上升沿后产 生同步中断请求,DSP 进入同步中断服务程序。此 时,由T,提供输出PWM波的时钟,在TIPWM口从 正向过零相位开始发出 PWM 波,通过逆变器控制 板,实现对各 UPS 输出电压频率和相位的调节。并 机系统在每个工频周期都产生一个公共同步信号, 各 UPS 在每个周期都检测公共同步信号与输出电 压相差  $\Delta \varphi$ .通过调节输出电压的频率和相位.使之 与公共同步信号同步,这一过程为第二级锁相。



图 4 相差检测及并机系统同步信号综合示意图 当 UPS, 出并机系统时,最早出现上升沿的则为 UPS<sub>2</sub>。当每台 UPS 退出或加入系统时,都不会影响 系统同步运行,各 UPS 之间没有主从之分,提高了 系统的可靠性。

理论分析和实验表明,通过两级锁相,在市电频繁波动和两个同步源频繁切换的情况下,锁相过程仍比较平稳,输出电压能够很好地跟踪同步源,同步相位误差可小于 $0.02^\circ$ , $P_H$ 已经很小。

#### 3.3 有功功率与无功功率的计算

在单相正弦电路中,若设相电压  $u_a$  和相电流  $i_a$  的有效值分别  $U_a$  和  $I_a$ ,初始相位角分别为  $\varphi_u$  和  $\varphi_i$ ,则有:

$$u_a=\sqrt{2}\,U_a\sin(\omega t+\varphi_u)$$
,  $i_a=\sqrt{2}\,I_a\sin(\omega t+\varphi_i)$  (8) 忽略直流分量和谐波成分,根据正交变换理论<sup>19</sup>,将  $u_a$  和  $i_a$  分别与标准基波正弦  $\sin\omega t$  和余弦  $\cos\omega t$  进行运算,再根据正弦稳态电路功率理论,求得有功功率和无功功率为:

 $\begin{cases} P = U_a I_a \cos(\varphi_u - \varphi_i) = \\ U_a \cos\varphi_u I_a \cos\varphi_i + U_a \sin\varphi_u I_a \sin\varphi_i = U_R I_R + U_l I_1 \\ Q = U_a I_a \sin(\varphi_u - \varphi_i) = \\ U_a \sin\varphi_u I_a \cos\varphi_i + U_a \cos\varphi_u I_a \sin\varphi_i = U_R I_R - U_l I_1 \end{cases}$  (9)

 $U_a \sin \varphi_u I_a \cos \varphi_i + U_a \cos \varphi_u I_a \sin \varphi_i = U_R I_R - U_I I_1$ 式中: $U_R, I_R$  为相电压和相电流的实部; $U_i, I_i$  为相电压和相电流的虚部。

设一正弦周期内的采样次数为 N, 离散化式(9)得:

$$\begin{cases}
P = \frac{2}{N^2} \left[ \sum_{n=0}^{N-1} u(n) \cos n \sum_{n=0}^{N-1} i(n) \cos n + \sum_{n=0}^{N-1} u(n) \sin n \sum_{n=0}^{N-1} i(n) \sin n \right] \\
Q = \frac{2}{N^2} \left[ \sum_{n=0}^{N-1} u(n) \cos n \sum_{n=0}^{N-1} i(n) \sin n - \sum_{n=0}^{N-1} u(n) \sin n \sum_{n=0}^{N-1} i(n) \cos n \right]
\end{cases} (10)$$

可在 DSP 内存储一个基波参考正交坐标系,将 检测到的输出电压、电流信号采样后分别与各个余 弦值、正弦值按式(10)计算,即可实时计算 UPS 每 个周期的 P和 Q。

#### 3.4 输出电压幅值的调节

由于  $\Delta U$  与  $P_H$  和  $Q_H$  均有关系,当 UPS 输出阻抗 R 远小于感抗  $\omega L$  时,  $\Delta U$  主要导致  $Q_H$  的产生。经过两级锁相以后, $P_H$  的值已经很小。由于, $R \ll \omega L$ 可以只通过计算  $Q_H$  来调节  $\Delta U$ 。

各 UPS 通过 DSP 得到 A,B,C 三相负载电流的瞬时值,取其平均值,再根据 A 相输出电压,通过计算得到每个工频周期输出的 P与 Q。各机将 Q 信号发送到 Q 信号线上进行综合,得到系统的平均 Q 值输出,用作各模块的无功给定基准 Q, 再与本机输出的 Q 相比较,获得误差信号  $\Delta Q$ 。由式(7),通过 PWM 口由逆变器控制板在每个周期可调节 UPS 的输出电压幅值。

### 4 样机实验验证

基于上述设计方案,与佛山市创电电源有限公司合作试制了样机,并且在两台UPS构成的并机系统上

进行了测试。UPS 的主要参数:单机容量为  $30 \, \text{kVA}$ , 功率管采用  $600 \, \text{V}/150 \, \text{A}$  的 CM150DY-12H 型 IGBT, 输入相电压范围为  $160 \sim 280 \, \text{V}$ , 频率为( $50 \pm 3$ ) Hz, 输入直流电压为  $384 \, \text{V}$ , 额定输出相电压为  $220 \, \text{V}/50 \, \text{Hz}$ , 并机等效电感为  $0.97 \, \text{mH}$ , 输出滤波电容为  $100 \, \mu \text{F}$ 。

图 5a 为市电情况下,两台 UPS 并机时 A 相输入电压  $u_{ai}$  与输出电压  $u_{ao}$  的实验波形。可见,达到了较好的吻合;图 5b 示出 A,B 两相输出电压  $u_{ao}$  和  $u_{bo}$  实验波形。可见,两相波形一致,相差为 120°,并机 UPS 三相输出电压均能实时跟踪市电,实现了同步运行。

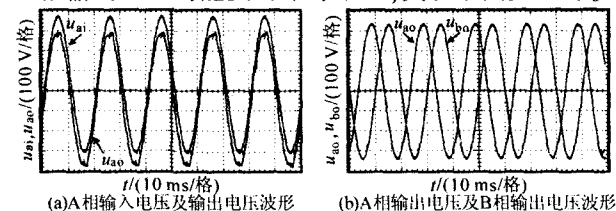
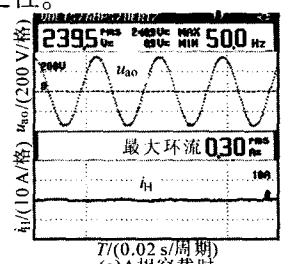


图 5 A,B两相输入、输出电压实验波形

将两台 UPS 的输出线以相反方向穿过电流互感器,采用 Fluke43 电源质量分析仪,可方便地检测环流。由式(1)知,实际环流只有分析仪读数的 50%。图 6 示出不同负载下测到的并机系统 A 相输出电压  $u_{\infty}$  和环流  $i_{\rm H}$  实验波形。由电压幅值及最大环流值可见,UPS 之间的环流都比较小,已达到了环流不高于输出电流 5%的设计标准,这说明并联系统具有较好的稳定性。



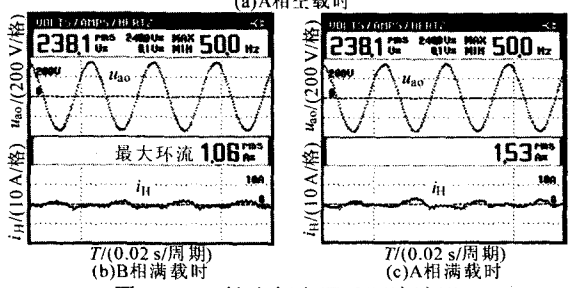


图 6 UPS 输出相电压及环流波形

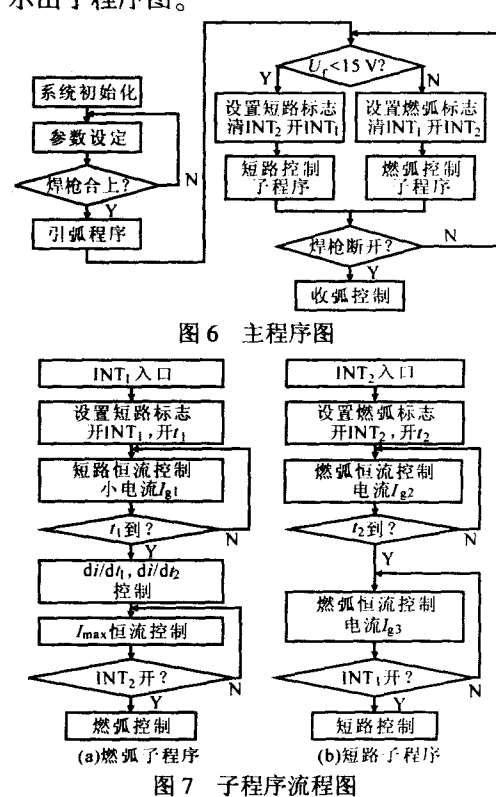
# 5 结 论

通过对三相 UPS 并机控制原理分析得出结论: ①得到了三相 UPS 并机系统的等效电路模型、环流计算方法、输出电压幅值差、相位差与无功功率、有功功率的关系; ②相位同步是 UPS 并机正常运行的首要条件。设计了基于 TMS320F2812 的并机控制电路;介绍了根据公共同步信号实现各 UPS 输出电压相位、频率同步的方法,并且计算无功功率差调节输出电压的幅值,实现了并机系统的同步(下转第 48 页)

备。电流波形控制参数有  $di/dt_1, I_{max}, t_2, I_{\varrho}, I_{\varrho}$ , 其他各参数在程序中设定。

### 3.2 电流波形控制软件设计

控制程序包括主程序、短路和燃弧控制子程序 3 部分。控制软件主要对焊接过程进行实时控制,要求控制系统的响应速度快,因此在软件编程中采用中断方式进行。焊接过程中,通过对电弧电压  $U_0$ 大小的检测来实时判断过渡过程所处的阶段,设定短路/燃弧判断电压  $U_0$ <15 V 时,则认为是短路阶段;当  $U_0$ >15 V 时,则认为是燃弧阶段。然后,通过  $INT_1$  和  $INT_2$  中断分别调用短路、燃弧控制子程序,并对过渡过程进行控制。图 6 示出主程序图;图 7 示出子程序图。



#### 4 试验分析

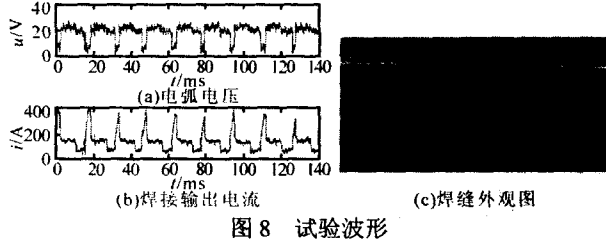
试验采用自制的 IGBT 逆变弧焊电源、行走机构、AH-XIX 型汉诺威焊接质量分析仪等组成高速试验系统。试验条件:母材为低碳钢,板厚 d=1 mm;焊丝为 H08Mn2SiA,焊丝直径  $\varphi=0.8$  mm;堆焊焊接;

(上接第 45 页)均流;③试制了样机。实现了两台 UPS 的并机运行,测试结果表明,样机达到了设计要求。

### 参考文献

- [1] Takao Kawabata, Shigenori Higashino. Parallel Operation of Voltage Source Inverter [J]. IEEE Trans. on Indus. Appl., 1998, 24(2):281-287.
- [2] 陈息坤.高频模块化 UPS 及其并联控制技术研究[D].武汉:华中科技大学电气工程学院,2005.
- [3] 段善旭,康 勇,陈 坚.基于分散逻辑的 UPS 逆变电源 48

气体流量 l=15 L /min;送丝速度  $n=4\sim10$  m/min;焊接速度  $n_h=0.8\sim1.5$  m/min。采用汉诺威分析仪对焊接过程进行分析。图 8a 示出  $n_h=1.5$  m/min 时电弧电压 u 和焊接电流 i 实验波形;图 8b 示出同一参数下的焊缝外观图。由图 8a 可见,电压、电流波形稳定,过渡周期平稳,这表明焊接时的熔滴过渡平稳;由图 7b 可见,焊缝成形较好,无"咬边"等缺陷。由此说明,通过短路阶段的"双斜率"控制和燃弧阶段的"大恒流+小恒流"控制,可方便地调节过渡过程中的能量输入,控制  $CO_2$  焊短路过渡,获得理想的焊缝成形。将该波控方法用于薄板焊接中,可使  $n_h=1.5$  m/min,从而实现  $CO_2$  焊的高速化。



### 5 结 论

- (1) 研制的数字化 CO<sub>2</sub> 焊逆变电源采用 IGBT 全桥逆变结构,额定输出电流为 315 A,能对焊接电流波形进行实时控制。
- (2) 控制系统以 dsPIC30F6010 芯片为核心,包括数据采集、短路/燃弧判断、过流保护、PWM DAC转换等电路,并在整个控制电路的软、硬件设计环节采用了多种抗干扰与保护措施,所设计的电路结构合理且性能稳定。
- (3)试验表明,研制的波控逆变电源具有可控参数多,响应速度快,波形控制精确等优点,满足了高速 CO<sub>2</sub> 焊电流波形控制的要求。

# 参考文献

- [1] 冯 雷,陈树君,殷树言.高速焊接时焊缝咬边的形成机 理[J].焊接学报,1999,20(1):16-21.
- [2] 曾 敏,曹 彪,黄石生,等.波控高速焊系统的仿真[J]. 焊接学报,2003,24(6);55-59.
- [3] 秦 健.一种基于 PWM 的电压输出 DAC 电路设计[J].现代电子技术,2004,27(14):81-83.
- [4] 陈焕明,曾 敏,曹 彪.高速 CO<sub>2</sub> 焊电流波形控制系统 [J].焊接学报,2007,28(1):41-45.
  - 并联控制技术[J].电力电子技术,2004,38(2):56-58.
- [4] Anil Tuladhar, Hua Jin, Tom Unger. Control of Parallel Inverters in Distributed AC Power Systems with Consideration of Line Impedance Effect [J]. IEEE Trans. on IA, 2000, 36(1):131-138.
- [5] Akagi H, Kanazawa Y, Nabae A.Instantaneous Reactive Power Compensators Comprising Switching Devices without Energy Storage Components[J] IEEE Trans. on IA, 1994, 37(5):625-630.